

تعیین مناطق هم خشکسالی استان گیلان با استفاده از شاخص ناهنجاری بارش

و تحلیل خوشه ای - فاصله ای

محمود خسروی^{۱*}، اکبر زهرایی^۲، حسین حیدری^۳، سارا بنی نعیمه^۴

۱. دانشیار اقلیم شناسی دانشگاه سیستان و بلوچستان.

۲ و ۳. دانشجوی کارشناسی ارشد اقلیم شناسی دانشگاه سیستان و بلوچستان.

۴. دانشجوی کارشناسی ارشد اقلیم شناسی دانشگاه آزاد اسلامی، واحد تهران مرکزی.

چکیده

خشکسالی یکی از پدیده های خزننده محیطی است که ویژگی موقت همه نواحی اقلیمی دنیاست. این پدیده از جمله مخاطرات محیطی است که پیوند جدایی ناپذیری از تغییرات اقلیمی دارد که ویژگیهای آن از قبیل شدت، مدت، دوره تناوب و ... از محلی به محل دیگر متفاوت است. از اهداف پژوهش حاضر می توان به تحلیل شرایط بارشی استان گیلان، بررسی ویژگیهای خشکسالی استان، پهنه بندی خشکسالیهای فراگیر و در نهایت تعیین مناطق با ذات مشابه برای وقوع خشکسالی با استفاده از تحلیل خوشه ای-فاصله ای اشاره نمود. برای انجام پژوهش از روشهای مختلف آماری از جمله شاخص ناهنجاری بارش (RIA)، روشهای آماری ناپارامتریک، روش تحلیل خوشه ای-فاصله ای استفاده گردید. نتایج پژوهش نشان داد که با آزمودن روشهای مختلف برای تعیین تعداد خوشه ها، بهترین روش، روش وارد و برای تعیین فاصله بین طبقات نیز از میان روشهای رایج، روش فاصله اقلیدسی مناسبترین روش می باشد. نهایتاً تعداد ۴ خوشه با درصد تشابه قابل قبول در مورد مناطق هم خشکسالی در استان گیلان شناسایی گردید. خوشه اول که بیشتر بصورت لکه هایی در مناطق مرکزی و تا حدودی در بخش شمالی، خوشه دوم گسترده ترین خوشه هم خشکسالی در استان گیلان می باشد که در قسمتهای غربی، مرکزی و شمالی استان، خوشه سوم در قسمت جنوب و جنوب غرب استان و خوشه چهارم بصورت یک محدوده مجزا در گوشه شرقی استان قرار گرفته است. با توجه به نتایج تحلیل ها به لحاظ فراوانی وقوع خشکسالی به ترتیب خوشه های دوم، اول، چهارم و سوم را در اولویت خطر وقوع خشکسالی قرار دارند. واژگان کلیدی: خشکسالی، شاخص ناهنجاری بارش، تحلیل خوشه ای، استان گیلان.

مقدمه

خشکسالی یکی از پدیده های خزنده محیطی است که در مناطق خشک و نیمه خشک جهان نمود بیشتری دارد (رضیئی و همکاران، ۱۳۸۶). وجود نوسانات شدید در ریزش های جوی یکی از مشکلات عمده بارش کشور می باشد و با توجه به همین نوسانات شدید، خشکسالی ها از جمله بلایای طبیعی هستند که در شرایط نوسان منفی یا عبارتی کاهش بارش های جوی نسبت به میانگین دراز مدت رخ می دهند. یکی از عمده ترین پارامترهایی که در تعریف خشکسالی استفاده می گردد بارش می باشد (فرج زاده، ۱۳۸۴: ۱). رخداد خشکسالی می تواند در منطقه ای با وسعت چند صد کیلومتری اتفاق بیافتد ولی امکان دارد شدت و دوره تداوم آن در سراسر منطقه یکسان نباشد بعنوان مثال خشکسالی قاره ای که خصوصا در مناطق خشک اتفاق می افتد در ناحیه وسیعی که صدها بلکه هزاران کیلومتر مربع را می پوشاند گسترش پیدا می کند (فشارکی، ۱۳۸۴). این پدیده از جمله مخاطرات محیطی است که پیوند جدایی ناپذیری از تغییرات اقلیمی دارد که ویژگیهای آن از قبیل شدت، مدت، دوره تناوب و ... از محلی به محل دیگر متفاوت است. خشکی ویژگی ذاتی اقلیم های خشک و نیمه خشک جهان است، در حالیکه خشکسالی ممکن است حتی مناطق مرطوب را تحت تاثیر قرار دهد (علیچانی، ۱۳۷۹). در حالت کلی خشکسالیها به چهار دسته هواشناسی، هیدرولوژی، کشاورزی و اجتماعی-اقتصادی تقسیم می شوند. نمود اصلی پیدایش پدیده خشکسالی هواشناسی کاهش بارندگی به پایتتر از حد نرمال (میانگین دراز مدت) می باشد. هر گاه خشکسالی هواشناسی مدت زیادی تداوم یابد منجر به وقوع خشکسالی هیدرولوژیکی می شود (اکبری: ۱، ۱۳۸۴). در سالهای اخیر به علت وقوع خشکسالیهای متعدد، برای تعیین ویژگیهای خشکسالی هواشناسی تا کنون نمایه های متعددی به کار گرفته شده است. بدون شک خشکسالی از جمله باسابقه ترین بلایای طبیعی است که بشر از دیرباز با آن مواجه بوده و از همان ابتدا در تلاش برای شناخت رفتار این پدیده بوده است. ارائه مدل های طبقه بندی آب و هوایی در اوایل قرن بیستم همچون تورنت وایت (۱۹۴۸)، کوپن (۱۹۳۱) و کنراد (۱۹۵۰) را می توان نقطه عطفی در بررسی این پدیده ذکر کرد (اکبری: ۶، ۱۳۸۴). در سطح جهان "مک کی و همکاران" (۱۹۹۳) از اولین کسانی است که نمایه SPI را برای ایالت کلرادوی آمریکا به کار برد. "دایگنی و همکاران" (۲۰۰۱) به بررسی اثرات خشکسالی سال ۹۹-۱۹۹۸ ایالتورمونت آمریکا به مقایسه دو نمایه SPI و PDSI در مقیاس ماهانه پرداختند و نتیجه گرفتند که نمایه SPI نتایج بهتری را نشان می دهد. "بازوهر و الگوهانی" (۱۹۹۷) با بهره گیری از داده های ۱۶ ایستگاه هواشناسی و روش گرافیکی به تعیین دوره های مرطوب و خشک عربستان پرداختند. "استرلا و همکاران" (۲۰۰۰) خشکسالیهای رخ داده در منطقه والنسیا را با توجه به مدت و شدت و توزیع مکانی آنها مورد بررسی قرار دادند. "هانگ و همکارانش" (۲۰۰۱) با ارزیابی سه شاخص بارش استاندارد شده (SPI)، نمرات استاندارد شده بارش سالیانه (ZSIAP) و روش (CZI)، مزیت و

معایب هر روش را بیان کردند. "پاشیار و میشل" (۲۰۰۸) جهت تعیین نواحی خشک در مطالعه موردی کپروس از شاخص SPI و شاخص RDI استفاده کردند. در کشور "مقدسی و همکاران" (۱۳۸۳) خشکسالیهای استان تهران را با استفاده از سه شاخص EDI, SPI و EDI پایش نمودند و نتیجه گرفتند که روش EDI کاراترین شاخص برای پایش خشکسالی در این استان است. "حسنی ها" (۱۳۷۹) وضعیت خشکسالی و روند آن را در استان زنجان بر اساس چهار روش آماری محاسبه کردند و نتیجه گرفتند که هر چهار روش با هم همخوانی داشته و روند خشکسالی در استان زنجان یک روند افزایشی است. "پور همت و همکاران" (۱۳۷۹) روند خشکسالی و ترسالی های حوضه کارون را با استفاده از میانگین متحرک انجام دادند. "بداق جمالی و جوانمرد" (۱۳۸۱) پایش و پهنه بندی خشکسالیهای استان خراسان را با استفاده از دو روش معکوس فاصله مجذور و کریکینگ انجام دادند. "خسروی و اکبری" (۱۳۸۸) در پژوهشی به بررسی ویژگیهای خراسان جنوبی با استفاده از شاخص استاندارد شده بارش (SPI) پرداختند. "رضیئی و همکاران" (۱۳۸۶) به بررسی خشکسالیهای استان سیستان و بلوچستان با استفاده از نمایه SPI و مدل زنجیره مارکف پرداختند. "سلطانی و سعادت" (۱۳۸۶) پهنه بندی خشکسالی در استان اصفهان را با استفاده از نمایه SPI انجام دادند. "فرج زاده" (۱۳۸۴) با استفاده از داده های بارندگی ۱۵۳ ایستگاه کشور در طی دوره آماری ۱۹۹۸-۱۹۶۶ به تحلیل آماری ویژگیهای بارش کشور و بررسی خشکسالی ایستگاهها پرداخت. "علیجانی و بنی واهب" (۱۳۸۴) ترسالی و خشکسالی و تغییرات اقلیم منطقه بیرجند را با استفاده از مدل های آماری مورد مطالعه قرار دادند. "زاهدی و قویدل" (۱۳۸۶) آستانه خشکسالی و میزان بارش قابل اعتماد ایستگاههای حوضه آبریز دریاچه ارومیه را طی دوره ۲۰۰۲-۱۹۶۰ با استفاده از شاخص های بارش قابل اعتماد، نمرات استاندارد و شاخص درصد از بارش مطالعه کردند. "جهانبخش و همکاران" (۱۳۸۷) خشکسالی زمانی و مکانی و دوره های خشک و مرطوب حوضه دریاچه نمک قم را با استفاده از داده های بارش طی سالهای ۲۰۰۰-۱۹۷۰ مورد تجزیه و تحلیل قرار دادند. هدف پژوهش حاضر تعیین مناطق هم خشکسال استان گیلان با استفاده از شاخص ناهنجاری بارش و تحلیل خوشه ای- فاصله ای می باشد.

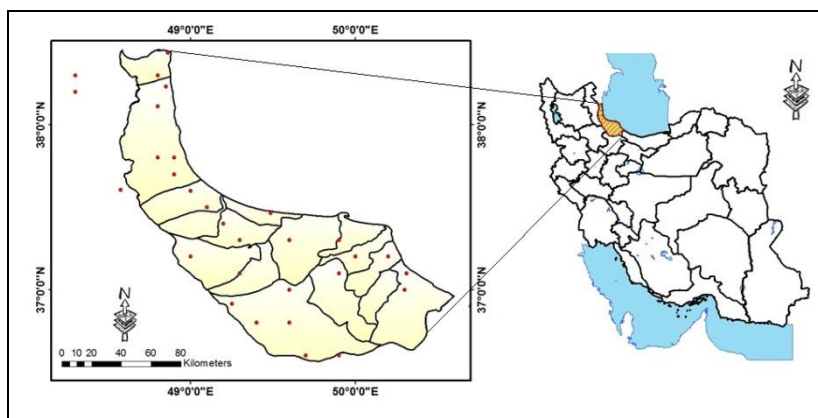
مواد و روش ها

استان گیلان با متوسط بارش ۱۱۰۰ میلیمتری دارای اقلیمی مرطوب و معتدل است، توزیع زمانی بارشها در سال آبی عموماً از اواسط شهریور تا اواخر فروردین ماه می باشد که نزدیک به ۸۰ درصد مجموع بارش ها را در طول سال تشکیل می دهد (تاجداری، ۲۰۱۳:۲). جهت پایش، پهنه بندی خشکسالیهای استان گیلان طی ۳۰ سال اخیر و همچنین تعیین مناطق با ذات هم خشکسال مشابه در گستره استان از ۳۲ ایستگاه بارانسنجی در سطح استان استفاده گردید. مشخصات ایستگاههای مورد مطالعه در جدول ۱ و پراکنش مکانی آنها در شکل ۱ آمده است.

جدول ۱. مشخصات ایستگاههای مورد مطالعه در استان گیلان

ایستگاه	ارتفاع	طول جغرافیایی	عرض جغرافیایی	میانگین بارش سالانه
اردبیل	۱۳۶۵	۴۸/۳	۳۸/۲	۱۷۸
انزلی	-۲۳/۶	۴۹/۵	۳۷/۵	۱۷۶۴
آب ویر	۲۵۰	۴۹	۳۷/۶	۱۳۶۳
آستارا	-۲۵	۴۸/۹	۳۸/۴	۱۱۹۴
آستانه	-۵	۴۹/۹	۳۷/۷	۱۲۷۱
باش محله	۷۰	۴۸/۸	۳۸/۳	۱۴۲۱
پارود بار	۴۹۵	۴۹/۷	۳۶/۶	۳۲۲
پررود	۲۹۳	۵۰/۲	۳۶/۲	۳۳۷
توتکابن	۲۶۰	۴۹/۶	۳۶/۸	۵۲۱
توتکی	۲۰۵	۴۹/۹	۳۷/۱	۱۵۲۹
خرجگیل	۱۴۵	۴۸/۹	۳۷/۷	۱۲۴۷
خلخال	۱۸۰۶	۴۸/۵	۳۷/۶	۳۶۹
رامسر	-۲۰	۵۰/۷	۳۶/۹	۱۱۷۶
رشت	۰	۴۹/۶	۳۷/۳	۱۲۹۹
رضوان شهر	۷۰	۴۹/۱	۳۷/۵	۱۲۶۸
شلمان	-۱۶	۵۰/۲	۳۷/۲	۱۱۷۴
شهربیجار	۱۴۰	۴۹/۶	۳۷	۱۲۳۴
قلعه رودخان	۱۷۰	۴۹/۳	۳۷/۱	۱۶۶۸
کسما	-۲	۴۹/۳	۳۷/۳	۱۰۸۰
کلچال	۱۵۰	۵۰/۳۱	۳۷/۱	۱۲۰۹
گورد	۲۴۹	۴۹/۹	۳۶/۶	۲۷۴
گیلوان	۳۱۱	۴۹/۱	۳۶/۸	۱۹۱
لاهیجان	۳۴/۲	۵۰	۳۷/۲	۱۳۹۴
ماسال	۶۰	۴۹/۲	۳۷/۴	۱۰۰۴
ماسوله	۹۸۰	۴۹	۳۷/۲	۹۱۶
ماشین خانه	۳۰۰	۴۸/۸	۳۷/۸	۱۰۵۶
منجیل	۲۳۲	۴۹/۴	۳۶/۸	۲۶۱

نمین	۱۴۴۵	۴۸/۳	۳۸/۳	۳۲۶
هرات بر	۱۱۰	۵۰/۳	۳۷	۱۳۴۳
هشت پر	۹۹	۴۸/۹	۳۷/۸	۱۱۳۹
لیمیر	۰	۴۸/۸۵	۳۸/۲۳	۱۴۳۷
شیرآباد	-۱۱	۴۸/۸	۳۸/۱۱	۱۱۵۱



شکل ۱. موقعیت ایستگاههای مورد مطالعه در استان و کشور

شاخص ناهنجاری بارش (RIA)

شاخص ناهنجاری بارندگی توسط روی در سال ۱۹۶۵ ارائه شده است. اساس شاخص ناهنجاری بارندگی، محاسبه انحراف معیار مقادیر بارندگی از نرمال می باشد. مراحل محاسبه این شاخص بصورت زیر است:

- محاسبه میانگین دراز مدت بارندگی در ایستگاههای (\bar{P}) مورد نظر
- استخراج میانگین ۱۰ مورد از بزرگترین مقادیر بارندگی اتفاق افتاده در دوره مطالعاتی (\bar{m})
- استخراج میانگین ۱۰ مورد از کمترین مقادیر بارندگی اتفاق افتاده در دوره مطالعاتی (\bar{x})
- مقایسه داده های بارندگی (P) با میانگین دراز مدت بارندگی.

چنانچه $P \geq \bar{P}$ یا ناهنجاری مثبت باشد شاخص ناهنجاری بارندگی از رابطه زیر محاسبه می شود:

$$RAI = 3 \left[\frac{P - \bar{P}}{\bar{m} - \bar{P}} \right]$$

رابطه ۱:

چنانچه $P \leq \bar{P}$ یا ناهنجاری، منفی باشد شاخص ناهنجاری بارندگی از رابطه زیر محاسبه می شود:

$$RAI = -3 \left[\frac{P - \bar{P}}{\bar{x} - \bar{P}} \right] \quad \text{رابطه ۲:}$$

در نهایت، مقادیر محاسبه شده بر اساس جدول ۳ طبقه بندی می شوند.

آستانه نسبت داده شده به RAI	شدت خشکسالی
+۰/۳ تا -۰/۳	نزدیک نرمال
-۱/۲ تا -۰/۳	خشکسالی ضعیف
-۲/۱ تا -۱/۲	خشکسالی متوسط
-۳ تا -۲/۱	خشکسالی شدید
≤ -۳	خشکسالی بسیار شدید

تحلیل روند:

آزمونهای روند به دو دسته پارامتری و ناپارامتری دسته بندی میشوند. پیش فرض آزمونهای پارامتری آن است که داده ها تصادفی و برآمدهای یک توزیع نرمال باشند. در عین حال فرض نرمال بودن داده ها در آزمونهای ناپارامتری وجود ندارد. بنابراین در صورتیکه به نرمال بودن داده ها اطمینان نداریم بکارگیری آزمونهای ناپارامتری محتاطانه تر به نظر میرسد. با این حال برخی محققان نشان داده اند که تفاوت نتایج دو روش در مورد بسیاری از عناصر اقلیمی معنادار نیست (وینیکف، ۲۰۰۲). در اینجا برای انجام آزمون روند دما فرض میکنیم دما تابعی خطی از زمان است. بنابر این مدل تغییرات بصورت زیر خواهد بود:

$$\text{Temperature} = \alpha + Q \text{ Time} \quad \text{رابطه ۳:}$$

روشن است که یک مقدار مثبت برای Q نشانگر افزایش دما با زمان و یک مقدار منفی برای Q نشانگر کاهش دما با زمان است. برای $Q = 0$ فرض وجود روند تایید نمیشود. اما از آنجا که مقدار Q نامعلوم است یک برآورد از Q با اطمینان ۹۵ درصد از رابطه زیر بدست می آید (باتاچاریا و همکاران، ۱۹۷۷).

$$Q = \frac{Xi' - Xi}{i' - i} \quad \text{رابطه ۴:}$$

اگر حد بالا و پایین Q که به این ترتیب بدست می‌آید هر دو مثبت باشند فرض وجود روند افزایشی در دما رد نمی‌شود. اگر حد بالا و پایین Q هر دو منفی باشند فرض وجود روند کاهشی در دما ثابت می‌شود و اگر حد بالا و پایین مختلف علامه باشند فرض وجود روند تایید نمی‌گردد (مسعودیان، ۱۳۸۳).

تحلیل خوشه‌ای:

تحلیل خوشه‌ای راهی است برای تقسیم یک مجموعه داده به زیر مجموعه‌های (خوشه‌ها یا دسته‌ها) همگن و مفیدی که دارای ویژگی‌های مشابه باشند. داده‌هایی که همانند باشند در یک خوشه، جا می‌گیرند و داده‌های ناهمانند در خوشه‌های جداگانه قرار می‌گیرند (گیور و منتظری، ۱۳۸۳: ۲۸). در روش فاصله‌ای، گروه بندی مشاهدات بر اساس فاصله بین آنها انجام می‌شود، یعنی مشاهدات یا اجزایی که از همدیگر فاصله کمتری دارند، جزء یک گروه قرار می‌گیرند، نام عمومی روش‌های گروه بندی بر اساس فاصله بین اجزاء خوشه بندی است. هدف اصلی روش خوشه بندی ایجاد گروه‌ها و طبقاتی است که تنوع و تفرق درون گروهی آنها کمتر از تفرق و پراکنش بین گروهی باشد. در روش فاصله‌ای تغییرات عناصر اقلیمی هر ایستگاه طی دوره مورد مطالعه یک محور محسوب می‌شود و فاصله روزهای مورد مطالعه از یکدیگر بر اساس این محورها تعیین می‌شود، آنگاه روزهایی که با هم نزدیکترند در یک گروه قرار می‌گیرند، اگر یک معیار مبنای گروه بندی باشد، بهترین راه محاسبه نمره استاندارد هر کدام از اعضاست، پس بر اساس واحدهای نمره استاندارد، اعضا به گروه‌های متجانس تقسیم می‌شوند، می‌توان فاصله معیار هر گروه را مضرپی از نمره استاندارد تعیین کرد. روش فاصله‌ای معمولاً برای گروه بندی‌های دو یا چند معیاری بکار می‌رود و معمولاً هر متغیر اقلیمی مانند دما و بارش می‌تواند یک معیار باشد. هدف اصلی خوشه بندی کاهش تنوع و یا واریانس درون گروهی و افزایش واریانس بین گروهی است (علیجانی، ۱۳۸۲: ۱۹۰). تحلیل خوشه‌ای می‌تواند به طریق سلسله مراتبی (Hierarchical) یا غیر سلسله مراتبی (Non Hierarchical) انجام پذیرد. در روش سلسله مراتبی طی فرایند خوشه بندی نخست خوشه‌ها شناسایی و سپس بر حسب درجه همانندی در یکدیگر ادغام می‌شوند تا سرانجام همه خوشه‌ها در یک خوشه جمع شوند. روش چند میانگین (K-mean) متداولترین روش خوشه بندی ناپایگانی است. در این روش نخست افراد به k گروه دلخواه تقسیم شده و سپس هر فرد در گروهی خوشه می‌شود که کمترین فاصله را تا میانگین آن گروه دارد (مسعودیان، ۱۳۸۲). در آغاز فرایند خوشه بندی به تعداد مشاهدات، خوشه وجود دارد و در آخرین مرحله همه مشاهدات در یک خوشه جمع می‌شوند (علیجانی، ۱۳۸۱: ۱۷۵). دو نقطه را در صورتی متعلق به یک ناحیه اقلیمی می‌دانیم که آب و هوایی آنها به اندازه کافی به یکدیگر نزدیک باشد. بنابراین ابتدا با اندازه

گیری فاصله اقلیدسی عناصر اقلیمی همه نقاط مکانی ماتریس P ، درجه ناهمانندی مکان ها با یکدیگر سنجیده می شود (رابطه ۳).

$$d_{rs}^2 = (P_r - P_s)(P_r - P_s)' \quad \text{رابطه ۵:}$$

در رابطه فوق d_{rs}^2 فاصله اقلیدسی نقطه r ام به مختصات (φ_r, λ_r) و نقطه s ام به مختصات (φ_s, λ_s) یا فاصله اقلیدسی گروه r ام و گروه s ام می باشد؛

P_r متغیر اقلیمی نقطه یا گروه r ام؛

P_s متغیر اقلیمی نقطه یا گروه s ام؛

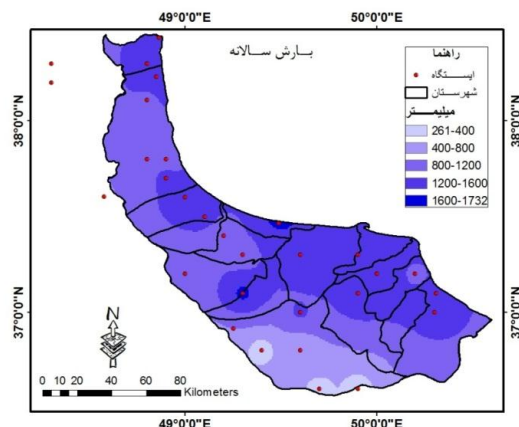
در روش وارد گروه های r و s در صورتی ادغام می شوند که افزایش پراش ناشی از ادغام آنها نسبت به ادغام هر یک از آنها با دیگر گروه ها کمینه باشد (رابطه ۵).

$$d(r, s) = \frac{n_r n_s d_{rs}^2}{(n_r + n_s)} \quad \text{رابطه ۶:}$$

در رابطه فوق d_{rs}^2 فاصله بین گروه r و گروه s است که به روش پیوند مرکزی به دست آمده باشد. n_r تعداد اعضای گروه r و n_s تعداد اعضای گروه s است (مسعودیان، ۱۳۸۸، صص ۸۳ و ۸۴).

بحث و نتایج

پس از کنترل کیفی مقادیر سری بارش و تصحیح داده ها توسط رگرسیون خطی اقدام به پهنه بندی مقادیر بارش سالانه برای ایستگاهها بر اساس روش مجذور فاصله معکوس (IDW) گردید نتایج پهنه بندی بارش در شکل ۲ آمده است. با توجه به نقشه توزیع بارش سالانه در استان اینگونه استنباط می گردد که بیشینه بارش ها در مناطق ساحلی استان در حوالی انزلی، قلعه رودخان، آستارا و باش محله مشاهده می گردد. کمینه بارش ها نیز در قسمتهای جنوبی استان در حوالی منجیل، پارودبار و گوورد بین ۲۰۰ تا ۳۰۰ میلیمتر مشاهده می گردد.



شکل ۲. بهنه بندی مقادیر بارش سالانه استان گیلان

پس از بهنه بندی مقادیر بارش اقدام به آشکار سازی روند در سری بارش های سالانه برای هر ایستگاه گردید تا در صورت وجود روند همبستگی آن با شدت خشکسالیها برآورد گردد. روند سری بارش های سالانه با استفاده از روشهای ناپارامتریک محاسبه گردید که نتایج آن در جدول شماره ۳ آمده است. همانطور که از محاسبات آورده شده در جدول ۳ مشخص است در هیچکدام از ایستگاهها بر اساس آماره من کندال روند معنی داری در سری بارش سالانه مشاهده نمی گردد. با توجه به ایستایی سری بارش سالانه برای ایستگاههای مورد مطالعه می توان گفت که ناهنجاری بارش برای ایستگاههای استان و همچنین وقوع خشکسالی از هیچ رابطه خطی و مشخصی پیروی نمی کند و وقوع آن در استان بصورت دوره ای است.

جدول ۳. برآورد مقادیر Z و کران های بالا و پایین شیب روند برای ایستگاههای مورد مطالعه

Time series	Test Z	Signific.	Q	Qmin99	Qmax99	Qmin95	Qmax95	B
آب ویر	-۰/۳۲۱۲۴		-۱/۲۷۲۷۳	-۱۲/۴۶۷	۱۲/۴۵۵۹	-۱۰/۱۷۵۳	۸/۳۴۴۳۲۲	۱۴۱۰/۶۸۲
انزلی	-۰/۷۶۷۲۹		-۴/۱۱۷۶۵	-۲۲/۲۴۳۴	۱۲	-۱۷/۷۴۱۸	۶/۶۷۷۰۰۸	۱۸۱۶/۱۴۷
اردبیل	-۰/۴۴۶۱		-۱	-۵/۷۴۶۵۴	۳/۳۳۲۹۱۷	-۴/۶۶۶۶۷	۲/۱۵۹۲۵۳	۳۱۳
آستانه	-۰/۴۱۰۴۱		-۱/۷۵	-۱۴/۲۶۲۵	۱۲/۴۷۸۹۳	-۱۰/۰۷۸۹	۷/۶۳۲۴۲۹	۱۳۱۶/۱۲۵
آستارا	۰/۲۸۵۴۵۶		۱/۳۳۳۳۳۳	-۱۱/۸۶۶۶	۱۲/۴۴۸۹۳	-۸/۲۰۲۱۸	۸/۸۹۳۰۴۳	۱۱۵۵/۸۳۳
باش محله	-۱/۵۸۸۶۱		-۱۰/۱۳۶۴	-۲۷/۲۰۵۸	۶/۴۹۱۰۱۷	-۲۴/۳۸۰۷	۲/۲۴۹۶۷۹	۱۶۱۰/۲۲۷
قلعه رودخان	-۱/۲۱۳۱۹		-۶/۳۷۵	-۲۰/۲۴۳۵	۵/۷۷۸۲۳۵	-۱۵/۶۴۷۳	۳/۲۷۲۲۹۷	۱۷۱۵/۶۲۵
گیلوان	۰/۴۸۱۷۸۵		۰/۵۴۵۴۵۵	-۲/۴۷۷۲۶	۳/۶۸۶۷۵۵	-۱/۷۷۹۵۶	۲/۶۷۸۸۶۴	۱۶۹/۸۱۸۲
گوورد	-۰/۹۴۶۰۳		-۱/۷۶۴۷۱	-۶/۲۱۸۴۷	۳/۷۲۶۸۳۲	-۵/۳۲۸۴۲	۲/۰۷۵۵۵۷	۲۹۳/۴۷۰۶

هراتبر	-۰/۲۴۹۷۷		-۰/۷۷۷۷۸	-۱۶/۸۲۴۶	۱۵/۱۲۸۳۶	-۱۱/۰۹۱۳	۱۱/۹۱۱۷۹	۱۳۷۲/۶۶۷
هشتپر	-۰/۰۳۵۷		۰	-۱۱	۷/۲۵	-۸/۵۸۲۷	۵/۶۹۲۹۷۲	۱۱۰۷/۵
کسما	-۱/۱۹۵۵۴		-۵/۵	-۱۷/۴۶۸۷	۶/۱۵۱۴۷۷	-۱۴/۵۸۸۱	۲/۷۶۸۳۲۷	۱۱۶۴/۲۵
خلخال	۰/۷۳۱۵۹۹		۱/۵	-۴/۳۹۵۳۴	۷/۲۷۲۶۹۵	-۲/۸۱۴۰۳	۶	۳۳۱
خرجگیل	۱/۸۹۱۷۵۲	+	۵/۷۱۴۲۸۶	-۲/۷۱۰۷	۱۲/۴۷۷۱۹	-۰/۲۲۶۰۳	۱۰/۵۳۴۳۴	۱۱۴۷/۶۴۳
کلچال	۰/۰۳۵۶۸۲		۰/۷۶۴۷۰۶	-۱۵/۰۸۶۶	۱۲/۸۴۶۵۷	-۱۰/۵۱۶۱	۱۰/۱۸۷۱۲	۱۱۹۲/۲۹۴
لاهیجان	۱/۱۷۷۸۸۳		۷/۲۵	-۷/۴۵۴۱	۲۰/۵۰۲۵۸	-۴/۲۱۹۷۷	۱۹/۲۶۴۸۳	۱۲۳۳/۲۵
لمیر	۰/۸۵۶۶۴۲		۷/۵	-۱۱/۱۶۸۳	۲۵/۳۴۳۰۸	-۸/۰۲۷۴۷	۲۱/۰۹۷۵۱	۱۲۷۸/۲۵
منجیل	-۱/۸۰۲۲۳	+	-۳/۱۸۷۵	-۸/۸	۱/۴۷۳۴۷۱	-۳/۳۵۹۸۸	۰/۲۲۲۲۲۲	۳۰۹/۶۸۷۵
ماسال	۰/۱۷۸۴۱		۰/۶۳۱۵۷۹	-۸/۷۹۲۴۲	۹/۲۷۷۲۵۵	-۶/۴۸۷۶	۷/۶۸۱۱۲۲	۹۹۰/۴۲۱۱
ماشین خانه	۰/۷۳۱۵۹۹		۳/۲۹۱۶۶۷	-۹/۶۲۵۲۳	۱۳/۴۴۶۹۴	-۶/۲۸۰۵۵	۱۱/۷۴۵۵۸	۱۰۰۴/۵
ماسوله	۱/۴۶۳۴۳		۵/۸۸	-۴/۸۴۱۶	۱۵/۳۶۹۶۷	-۲/۶۶۶۰۱	۱۳/۵۱۸۷۳	۸۳۷/۹۸
پارودبار	۱/۷۱۳۲۸۴	+	۴	-۳/۰۲۸۲۹	۱۰	-۰/۶۲۱۵۲	۸/۵۷۲۶۸۲	۲۵۰/۵
رشت	-۱/۴۶۳۴۳		-۵	-۱۶/۱۴۰۳	۳/۵۰۰۵۸۱	-۱۳/۱۶۸۸	۱/۷۵۸۱۵۷	۱۳۵۳
رضوانشهر	۰/۶۴۲۲۷۷		۳/۱۹۰۴۷۶	-۸/۵۱۳۸۶	۱۸/۱۱۵۵۲	-۵/۴۳۶۴۹	۱۳/۲۱۰۳	۱۲۴۰/۲۸۶
شهر بیجار	۰/۰۷۱۳۶۴		۰/۲۹۴۱۱۸	-۱۱/۳۱۶۷	۱۱/۶۷۳۲۸	-۹/۰۷۳۷۱	۹/۰۴۰۹۱۱	۱۲۰۴/۳۸۲
شلمان	-۰/۲۸۵۴۶		-۱	-۱۱/۱۷۴۷	۹/۵۷۵۱۰۷	-۸/۴۶۸۳۱	۸	۱۱۶۷/۵
شیرآباد	۰/۸۳۸۶۶۲		۳/۰۸۳۳۳۳	-۹/۷۶۶۷۸	۱۶/۶۷۷۹	-۵/۹۷۰۹۴	۱۲/۳۱۹۹۸	۱۰۸۲
توتکی	۰/۶۰۶۵۹۵		۳/۹۱۶۶۶۷	-۱۶/۵۰۳۴	۲۲/۶۴۴۸۷	-۱۰/۷۸۵۸	۱۸/۴۵۴۲۶	۱۵۱۱/۱۲۵
توتکابن	-۰/۵۳۵۴		-۱/۸	-۱۰/۲۱۸۴	۵/۸۱۸۲۵۶	-۸/۲۷۰۶	۳/۵۱۸۷۳۱	۵۱۴/۱
پرورد	۰/۸۵۶۳۶۹		۲/۳۳۳۳۳۳	-۴/۴۷۰۳۲	۷/۶۳۴۶۵۷	-۲/۴۷۴۰۷	۶/۴۱۱۰۸۵	۳۰۰
رامسر	-۰/۵۵۳۱۶		-۳/۴۴۴۴۴۴	-۱۹/۱۹۹۲	۱۳/۶۱۳۶۱	-۱۵/۴۸۷۴	۱۰/۲۳۴۵۴	۱۲۰۵/۴۴۴

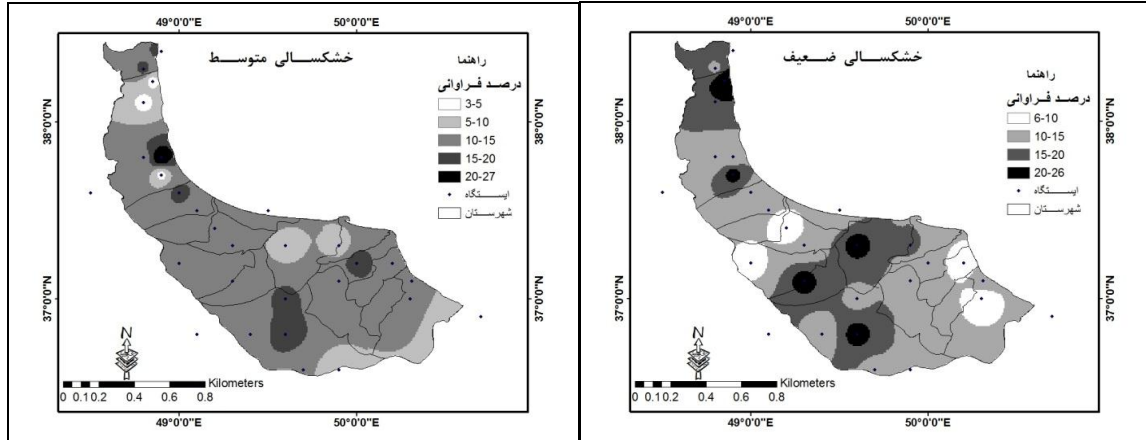
در گام بعدی و پس از تحلیل شرایط سری بارش ایستگاهها اقدام به تعیین ضرایب خشکسالی برای ایستگاههای مورد مطالعه بر اساس شاخص ناهنجاری بارش (RIA) گردید. پس از برآورد مقادیر، اقدام به محاسبه درصد فراوانی شدت خشکسالی در دوره آماری مورد مطالعه (۱۳۸۹-۱۳۶۰) برای هر ایستگاه گردید. نتایج محاسبات مربوط به فراوانی شدت خشکسالی برای هر ایستگاه در جدول ۴ آمده است.

جدول ۴. فراوانی شدت خشکسالی در استان گیلان در دوره ۱۳۸۹-۱۳۶۰

ایستگاه	ترسالی	نرمال	خشکسالی ضعیف	خشکسالی متوسط	خشکسالی شدید	خشکسالی خیلی شدید
آب ویر	۴۶/۷	۶/۷	۱۳/۳	۱۶/۷	۶/۷	۱۰
انزلی	۴۳/۳	۶/۷	۱۰	۱۳/۳	۱۰	۱۶/۷
اردبیل	۴۶/۷	۱۳/۳	۶/۷	۳/۳	۱۳/۳	۱۶/۷
آستانه	۴۶/۷	۶/۷	۱۶/۷	۶/۷	۶/۷	۱۶/۷
آستارا	۴۳/۳	۳/۳	۲۰	۱۶/۷	۳/۳	۱۳/۳
باش محله	۴۰	۱۰	۱۳/۳	۱۶/۷	۶/۷	۱۳/۳
قلعه رودخان	۳۰	۱۰	۲۳/۳	۱۳/۳	۳/۳	۲۰
گیلوان	۳۶/۷	۱۰	۲۰	۱۰	۶/۷	۱۶/۷
گورد	۴۶/۷	۳/۳	۱۳/۳	۶/۷	۱۰	۲۰
هراتیر	۴۶/۷	۱۰	۶/۷	۱۰	۱۰	۱۶/۷
هشتپر	۳۳/۳	۱۰	۱۰	۲۶/۷	۶/۷	۱۳/۳
کسما	۴۰	۱۰	۱۰	۱۰	۱۶/۷	۱۳/۳
خلخال	۴۰	۶/۷	۱۳/۳	۱۳/۳	۱۰	۱۶/۷
خرجگیل	۳۳/۳	۱۰	۲۳/۳	۳/۳	۱۶/۷	۱۳/۳
کلچال	۴۰	۱۳/۳	۱۳/۳	۱۰	۱۳/۳	۱۰
لاهیجان	۳۰	۱۶/۷	۱۰	۲۰	۱۳/۳	۱۰
لمیر	۴۳/۳	۰	۲۶/۷	۳/۳	۱۳/۳	۱۳/۳
منجیل	۳۶/۷	۱۶/۷	۱۰	۱۰	۱۳/۳	۱۳/۳
ماسال	۳۶/۷	۲۰/۰	۶/۷	۱۳/۳	۶/۷	۱۶/۷
ماشین خانه	۴۶/۷	۶/۷	۱۰	۱۳/۳	۱۶/۷	۶/۷
ماسوله	۴۰	۱۶/۷	۶/۷	۱۳/۳	۶/۷	۱۶/۷
نمین	۴۳/۳	۱۶/۷	۱۰	۱۰	۶/۷	۱۳/۳
پارودبار	۴۳/۳	۶/۷	۱۳/۳	۱۰	۱۶/۷	۱۰
رشت	۳۶/۷	۱۶/۷	۲۳/۳	۶/۷	۰	۱۶/۷
رضوانشهر	۴۶/۷	۱۰	۱۰	۱۳/۳	۱۰	۱۰
شهر بیجار	۳۶/۷	۱۳/۳	۱۳/۳	۱۶/۷	۶/۷	۱۳/۳
شلمان	۳۳/۳	۱۶/۷	۶/۷	۱۳/۳	۱۶/۷	۱۳/۳
شیرآباد	۳۶/۷	۲۰	۲۰	۳/۳	۳/۳	۱۶/۷
توتکی	۵۰	۳/۳	۱۳/۳	۱۰	۶/۷	۱۶/۷

۱۳/۳	۰	۲۰	۲۳/۳	۳/۳	۴۰	توتکابن
۱۳/۳	۱۳/۳	۳/۳	۱۰	۱۰	۵۰	پررود
۱۶/۷	۱۰	۳/۳	۱۳/۳	۱۶/۷	۴۰	رامسر

برای تشخیص بهتر پراکنش فراوانی شدت های خشکسالی در سطح استان نقشه های پهنه بندی درصد فراوانی برای هر چهار نوع خشکسالی در اشکال ۳ تا ۶ آمده است. بیشترین درصد فراوانی خشکسالیهای ضعیف با ۲۰ تا ۲۶ درصد فراوانی وقوع در مناطق مرکزی و گوشه شمال غربی استان در محدوده ایستگاههای قلعه رودخان، رشت، توتکابن، خرجگیل، شیرآباد و لیمیر مشاهده می گردد. کمترین میزان فراوانی وقوع خشکسالیهای ضعیف نیز در محدوده ایستگاههای هراتبر، سلمان، ماسال و ماسوله با ۶ تا ۱۰ درصد فراوانی وقوع در بلند مدت می باشد. در مورد فراوانی خشکسالیهای متوسط در استان می توان گفت بیشترین فراوانی وقوع در حوالی ایستگاه هشت پر با ۲۰ تا ۲۷ درصد فراوانی وقوع و کمترین آن در حوالی ایستگاههای لیمیر، شیرآباد و خرجگیل با ۳ تا ۵ درصد فراوانی وقوع رخ می دهد. پهنه بندی فراوانی وقوع خشکسالیهای شدید در استان حاکی از آن است که بیشترین درصد فراوانی وقوع در قسمتهایی از مناطق حاشیه ای استان در شرق و جنوب و شمالغرب در محدوده ایستگاههای ماشین خانه، خرجگیل، کسما، منجیل، پارودبار، لاهیجان، سلمان و کلچال با ۱۲ تا ۱۶ درصد فراوانی وقوع و کمترین آن در مناطق مرکزی در حوالی ایستگاههای رشت، قلعه رودخان، توتکابن و شیرآباد با ۱ تا ۴ درصد فراوانی وقوع می باشد. از لحاظ فراوانی وقوع خشکسالیهای خیلی شدید اینگونه می توان گفت که بیشترین درصد فراوانی وقوع در گوشه جنوبی استان در محدوده ایستگاههای قلعه رودخان و گوورد با ۱۷ تا ۲۰ درصد فراوانی وقوع و کمترین آن در حوالی ایستگاه ماشین خانه با ۶ تا ۹ درصد در بلند مدت مشاهده می گردد.

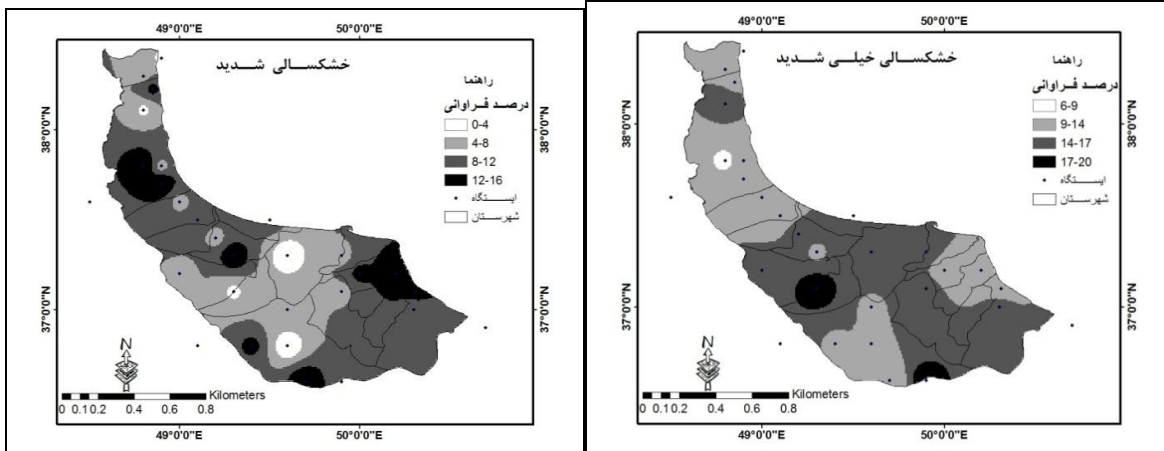


شکل ۳. پهنه بندی درصد فراوانی وقوع خشکسالی ضعیف

شکل ۴. پهنه بندی درصد فراوانی وقوع خشکسالی متوسط

استان گیلان طی دوره (۱۳۶۰-۱۳۸۹)

استان گیلان طی دوره (۱۳۶۰-۱۳۸۹)



شکل ۵. پهنه بندی درصد فراوانی وقوع خشکسالی شدید

شکل ۶. پهنه بندی درصد فراوانی وقوع خشکسالی خیلی

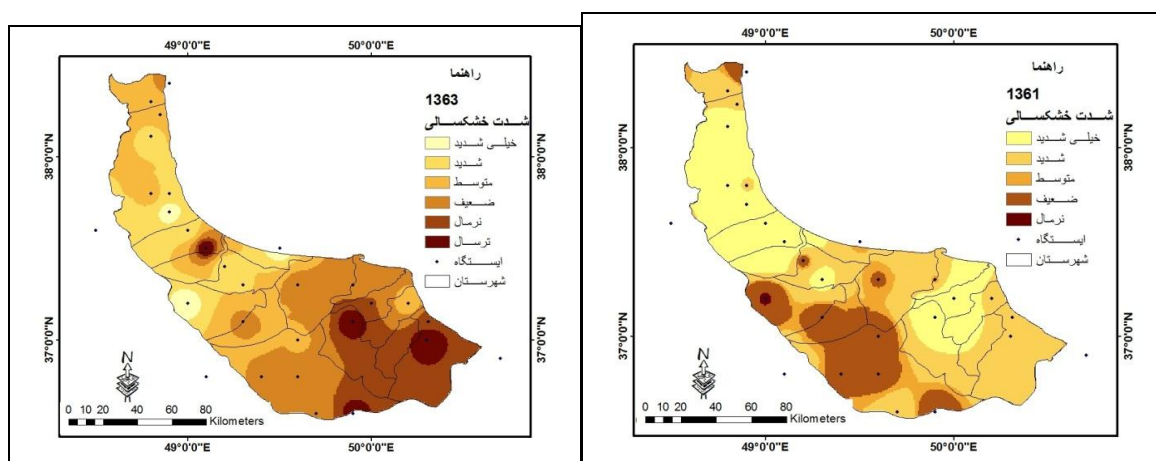
استان گیلان طی دوره (۱۳۶۰-۱۳۸۹)

شدید استان گیلان طی دوره (۱۳۶۰-۱۳۸۹)

پس از تحلیل فراوانی وقوع شدت های مختلف خشکسالیهای استان بر اساس شاخص ناهنجاری بارش، اقدام به گزینش و پهنه بندی ۸ مورد از خشکسالیهای فراگیر استان طی دوره مورد مطالعه (۱۳۶۰-۱۳۸۹) با استفاده از روش مجذور فاصله معکوس (IDW) به شرط اینکه حدود ۹۰ درصد ایستگاهها دارای خشکسالی بوده اند گردید. سالهای گزینش شده که در نهایت با استفاده از تعمیم شبکه ای نقاط در تحلیل خوشه ای- فاصله ای مورد ارزیابی قرار می گیرند عبارتند از:

- خشکسالی سال ۱۳۶۱: در این سال قسمت اعظم استان تحت سیطره خشکسالی می باشد و تنها گوشه غربی استان دارای وضعیت نرمال است. بیشترین شدت خشکسالی مربوط به قسمتهای شرقی و شمالی استان و کمترین شدت آن مربوط به گوشه جنوبی است (شکل ۷).

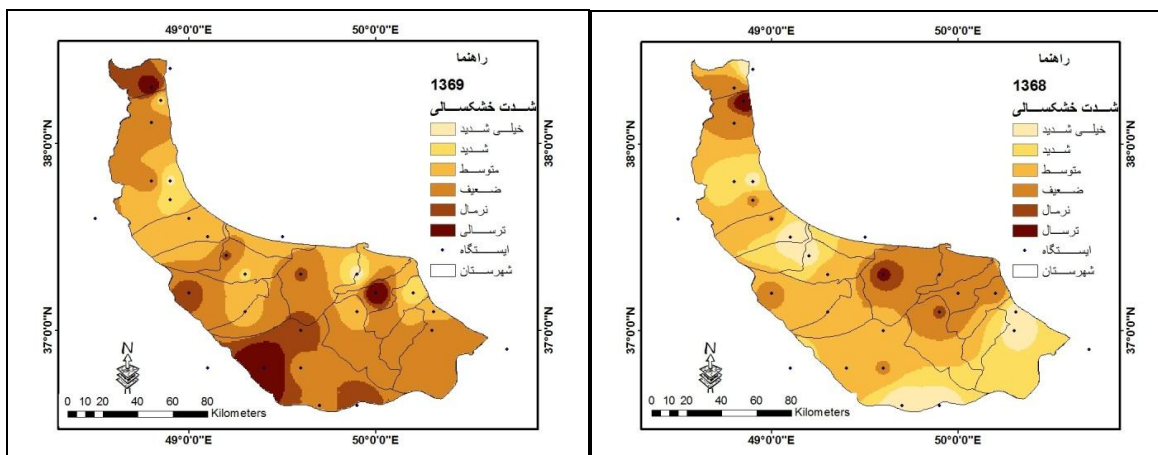
- خشکسالی سال ۱۳۶۳: در این سال گوشه شرقی استان دارای وضعیت نرمال و سایر قسمتهای استان تحت سیطره معضل خشکسالی بوده است. بیشترین شدت خشکسالی مربوط به قسمت شمالی و کمترین آن مربوط به قسمت جنوبی استان است (شکل ۸).



شکل ۷. پهنه بندی شدت خشکسالی استان گیلان در سال ۱۳۶۱ شکل ۸. پهنه بندی شدت خشکسالی استان گیلان در سال ۱۳۶۳

- خشکسالی سال ۱۳۶۸: در این سال به استثنای ایستگاههای رشت و لیمیر در سایر قسمتهای استان خشکسالی گسترده شده است. در این سال بیشترین شدت در قسمت مرکزی و شرقی استان و کمترین شدت آن در گوشه شمالی مشاهده می گردد (شکل ۹).

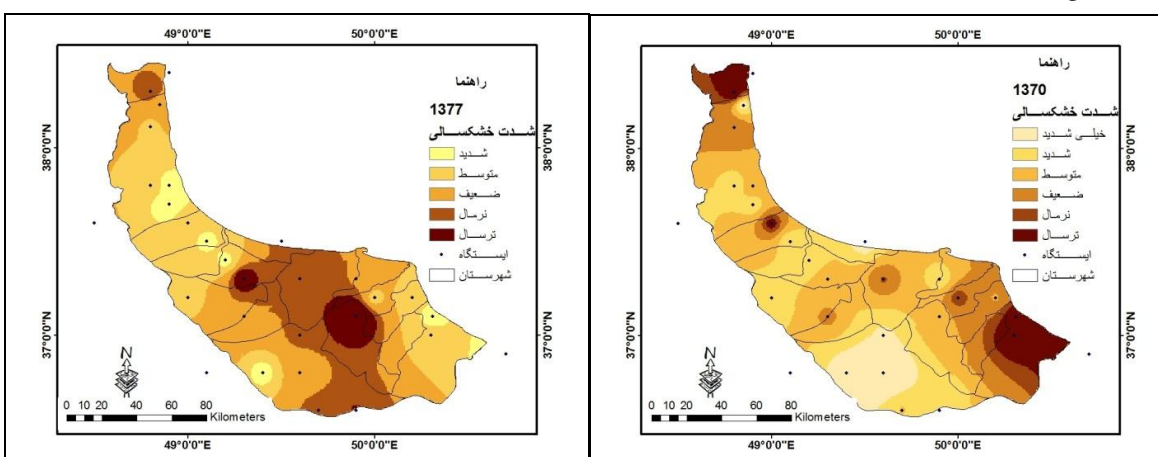
- خشکسالی سال ۱۳۶۹: در سال ۶۹ قسمتهای جنوب غرب و گوشه شمالی استان دارای وضعیت نرمال و سایر قسمتها تحت پدیده خشکسالی بوده است. بیشترین شدت خشکسالی در حوالی ایستگاههای آستانه، شلمان و خرگیل مشاهده می گردد (شکل ۱۰).



شکل ۹. پهنه بندی شدت خشکسالی استان گیلان در سال ۱۳۶۸ شکل ۱۰. پهنه بندی شدت خشکسالی استان گیلان در سال ۱۳۶۹

خشکسالی سال ۱۳۷۰: در سال ۱۳۷۰ به استثنای گوشه شرقی و شمالی در سایر قسمت‌های استان خشکسالی احاطه داشته است. در این سال بیشترین شدت خشکسالی در گوشه جنوبی استان در حوالی ایستگاهها منجیل و توتکابن و همچنین در قسمتهایی از شمال استان در حوالی ایستگاههای انزلی و لیمیر مشاهده می گردد(شکل ۱۱).

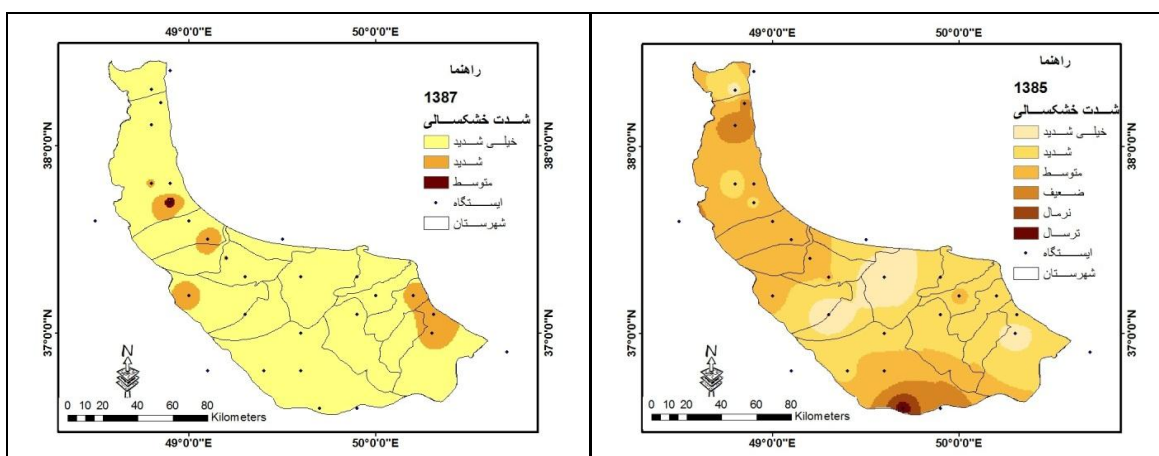
خشکسالی سال ۱۳۷۷: نقشه خشکسالی سال ۱۳۷۷ بیانگر آن است که به جز در لکه هایی از بخش مرکزی استان در سایر قسمتها خشکسالی تسلط داشته است. بیشترین شدت آن مربوط به بخشهای شرقی، غربی و جنوبی استان در حوالی ایستگاههای کلچال، منجیل، ماسال، رضوانشهر، خرجگیل و هشت پر دیده می شود(شکل ۱۲).



شکل ۱۱. پهنه بندی شدت خشکسالی استان گیلان در سال ۱۳۷۰ شکل ۱۲. پهنه بندی شدت خشکسالی استان گیلان در سال ۱۳۷۷

خشکسالی سال ۱۳۸۵: در سال ۱۳۸۵ به استثنای گوشه جنوبی به مرکزیت ایستگاه پارودبار در سایر بخشهای استان خشکسالی تسلط داشته است. بیشترین شدت خشکسالی در ایستگاههای رشت، قلعه رودخان، هراتبر و باش محل مشاهده می شود (شکل ۱۳).

خشکسالی سال ۱۳۸۷: در سال ۱۳۸۷ تمام گستره استان تحت سیطره خشکسالی بوده است که به جز بخشهای کوچکی از شرق و مرکز استان در سایر نقاط خشکسالی خیلی شدید حاکم بوده است (شکل ۱۴).



شکل ۱۳. پهنه بندی شدت خشکسالی استان گیلان در سال ۱۳۸۵. شکل ۱۴. پهنه بندی شدت خشکسالی استان گیلان در سال ۱۳۸۷

پس از تحلیل خشکسالیهای فراگیر در دوره مورد مطالعه (۱۳۶۰-۱۳۸۹) اقدام به تحلیل خوشه ای ضرایب خشکسالی جهت تعیین مناطق با ذات مشابه برای وقوع خشکسالی در گستره استان گیلان گردید. با آزمودن روشهای مختلف برای تعیین تعداد خوشه ها بهترین روش وارد انتخاب گردید. برای تعیین فاصله بین طبقات نیز از میان روشهای رایج روش فاصله اقلیدسی انتخاب گردید. با انتخاب ۸ خشکسالی فراگیر در دوره مورد مطالعه اقدام به تحلیل خوشه ای مقادیر و تعیین مناطق با ذات مشابه برای رخداد خشکسالی گردید. نتایج محاسبات مربوط به تعیین خوشه ها و تعیین فاصله بین دسته ها در جدول ۵ آمده است.

جدول ۵. مراحل تعیین سطوح خوشه و سطح تشابه برای هر مرحله

مرحله	تعداد خوشه ها	سطح تشابه	فاصله طبقات	جایگشت خوشه ها	مرحله	تعداد خوشه ها	سطح تشابه	فاصله طبقات	جایگشت خوشه ها
۱	۳۱	۸۵/۰۳	۱/۷۸	۱۰	۱۷	۱۵	۵۷/۸۸	۵/۰۲	۸
۲	۳۰	۸۳/۱۱	۲/۰۱	۹	۱۸	۱۴	۵۵/۸۶	۵/۲۶	۲
۳	۲۹	۷۴/۸۴	۳	۹	۱۹	۱۳	۵۴/۷۱	۵/۳۹	۶

۴	۲۸	۷۴/۶۲	۳/۰۲	۱۳	۲۰	۱۲	۵۳/۶۹	۵/۵۲	۲
۵	۲۷	۴۳/۵۰	۳/۱۶	۷	۲۱	۱۱	۵۳/۲۱	۵/۵۷	۱
۶	۲۶	۷۲/۰۲	۳/۳۳	۲۶	۲۲	۱۰	۴۷/۵۶	۶/۲۵	۲
۷	۲۵	۷۱/۸۵	۳/۳۵	۶	۲۳	۹	۴۶/۱۲	۶/۴۲	۵
۸	۲۴	۷۱/۲۸	۳/۴۲	۴	۲۴	۸	۳۷/۵۹	۷/۴۳	۳
۹	۲۳	۶۸/۹۹	۳/۶۹	۲	۲۵	۷	۳۷/۴۰	۷/۴۶	۶
۱۰	۲۲	۶۷/۶۸	۳/۵۸	۱۳	۲۶	۶	۳۰/۵۸	۸/۲۷	۱
۱۱	۲۱	۶۵/۸۵	۴/۰۷	۱۰	۲۷	۵	۴/۸۵	۱۱/۳۳	۳
۱۲	۲۰	۶۵/۶۲	۴/۰۹	۱۶	۲۸	۴	-۱۷/۲۷	۱۳/۹۷	۲
۱۳	۱۹	۶۱/۴۵	۴/۵۹	۱۸	۲۹	۳	-۳۵/۳۷	۱۶/۱۲	۲
۱۴	۱۸	۶۱/۱۵	۴/۶۳	۲۰	۳۰	۲	-۴۱/۴۹	۱۶/۸۵	۱
۱۵	۱۷	۶۱/۰۸	۴/۶۴	۲	۳۱	۱	-۷۸/۴۵	۲۱/۲۵	۱
۱۶	۱۶	۵۸/۳۲	۴/۹۶	۳					

پس از تعیین تعداد خوشه ها و فاصله هر کدام از مرکزیت خوشه اقدام به تعیین فاصله متوسط و حداکثری هر خوشه نسبت به میانگین کل گردید (جدول ۶).

جدول ۶. تعیین فاصله متوسط و حداکثری هر خوشه نسبت

به میانگین کل برای مشاهدات مورد مطالعه

خوشه ها	تعداد مشاهدات	درون یابی خوشه ها از مجموع مربعات	متوسط فاصله از مرکز	حداکثر فاصله از مرکز
خوشه اول	۶	۷۸/۱۳۱	۳/۵۹۳۳۷	۴/۲۴۰۷۱
خوشه دوم	۱۲	۱۸۸/۹۹۸	۳/۸۰۸۲۳	۵/۷۸۹۹۹
خوشه سوم	۱۰	۱۱۱/۸۹۹	۳/۲۷۴۱۳	۴/۲۷۸۱۲
خوشه چهارم	۴	۲۷/۷۱	۲/۵۴۱۸۵	۳/۷۲۱۸

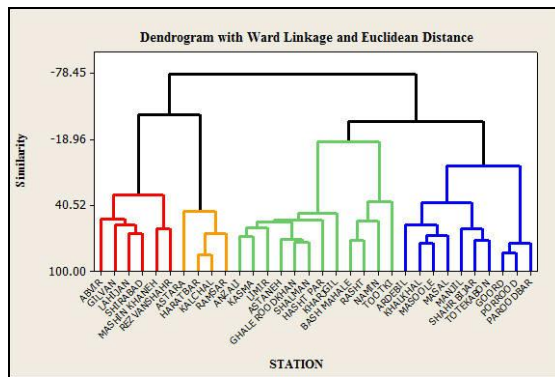
در نهایت اقدام به ترسیم دندوگرام خوشه های استخراج شده و همچنین نقشه هم خشکسال نقاط مختلف برای استان گردید. محدوده های خوشه های واحد بصور زیر است:

خوشه اول: در خوشه اول که بیشتر بصورت لکه هایی در مناطق مرکزی و تا حدودی شمالی مشاهده می گردد ایستگاههای لاهیجان، ماشین خانه، آب ویر، شیرآباد و رضوانشهر قرار می گیرند.

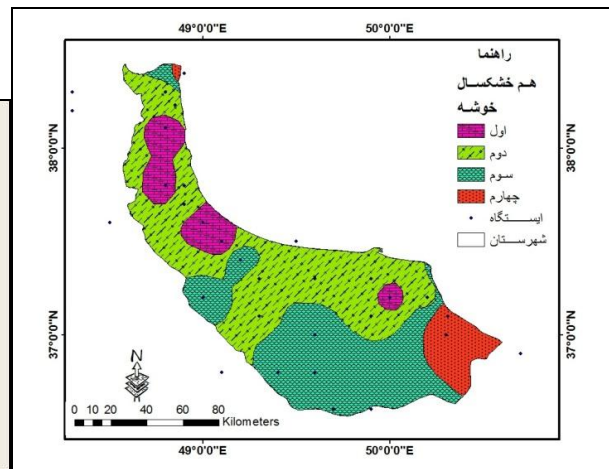
خوشه دوم: این خوشه به لحاظ مکانی گسترده ترین خوشه هم خشکسال در استان گیلان می باشد که در قسمت های غربی، مرکزی و شمالی استان گسترده شده است. در خوشه دوم ایستگاههای توتکی، شلمان، آستانه، رشت، کسما، قلعه رودخان، خرگیل، هشتپر، لیمیر و باش محله جای می گیرند.

خوشه سوم: این خوشه در قسمت جنوب و جنوب غرب استان قرار گرفته و از لحاظ وسعت مکانی در میان خوشه ها رتبه دوم را دارد. ایستگاههای ماسال، ماسوله، شهر بیجار، منجیل، توتکابن، پارودبار و گورد در محدوده خوشه سوم قرار دارد.

خوشه چهارم: این خوشه بصورت یک محدوده مجزا در گوشه شرقی استان در محدوده ایستگاههای کلچال و هراتبر قرار گرفته است..



شکل ۱۶. دندوگرام مناطق هم خشکسالی استان گیلان بر اساس شاخص ناهنجاری بارش (RIA)



شکل ۱۵. پهنه بندی مناطق هم خشکسالی استان گیلان بر اساس شاخص ناهنجاری بارش (RIA)

نتیجه گیری

در پژوهش حاضر پایش و پهنه بندی خشکسالیهای فراگیر استان گیلان بر اساس شاخص ناهنجاری بارش (RAI) برای ۳۲ ایستگاه بارانسنجی استان گیلان در بازه زمانی (۱۳۸۹-۱۳۶۰) انجام گرفت. در گام اول پژوهش اقدام به تحلیل شرایط بارشی ایستگاههای مورد مطالعه گردید. تحلیل بارشها نشان داد که بیشینه بارش

ها در مناطق ساحلی استان در حوالی انزلی، قلعه رودخان، آستارا و باش محله مشاهده می گردد. کمینه بارش ها نیز در قسمتهای جنوبی استان در حوالی منجیل، پارودبار و گوورد مشاهده می گردد. در گام بعد اقدام به تعیین روند سری بارش ها بر اساس روشهای ناپارامتریک گردید. نتایج تحلیل روند نشان داد که هیچگونه روندی در سری بارشها وجود ندارد. پس از تحلیل روند در گام بعد اقدام به استخراج ضرایب خشکسالی برای ایستگاهها بر اساس شاخص ناهنجاری بارش گردید. پس از تعیین ضرایب اقدام به تعیین و پهنه بندی درصد فراوانی وقوع شدت های مختلف خشکسالی برای دوره ۱۳۶۰-۱۳۸۹ گردید. نتایج تحلیل فراوانی نشان داد که بیشترین درصد فراوانی خشکسالیهای ضعیف با ۲۰ تا ۲۶ درصد فراوانی وقوع در مناطق مرکزی و گوشه شمالغربی استان، در مورد خشکسالیهای متوسط بیشترین فراوانی وقوع در حوالی ایستگاه هشت پر با ۲۰ تا ۲۷ درصد فراوانی وقوع، در خشکسالیهای شدید بیشترین درصد فراوانی وقوع در قسمتهایی از مناطق حاشیه ای استان در شرق و جنوب و شمالغرب و در خشکسالیهای خیلی شدید بیشترین درصد فراوانی وقوع در گوشه جنوبی استان مشاهده گردید. پس از تحلیل فراوانی وقوع شدت های مختلف خشکسالیهای استان بر اساس شاخص ناهنجاری بارش، اقدام به گزینش ۸ و پهنه بندی مورد از خشکسالیهای فراگیر استان طی دوره مورد مطالعه(۱۳۶۰-۱۳۸۹) به شرط اینکه حدود ۹۰ درصد ایستگاهها دارای خشکسالی بوده اند گردید. پس از تحلیل خشکسالیهای فراگیر در دوره مورد مطالعه(۱۳۶۰-۱۳۸۹) اقدام به تحلیل خوشه ای ضرایب خشکسالی جهت تعیین مناطق با ذات مشابه برای وقوع خشکسالی در گستره استان گیلان گردید. با آزمودن روشهای مختلف برای تعیین تعداد خوشه ها بهترین روش وارد انتخاب گردید. برای تعیین فاصله بین طبقات نیز از میان روشهای رایج روش فاصله اقلیدسی انتخاب گردید. نهایتاً تعداد ۴ خوشه با درصد تشابه قابل قبول در مورد مناطق هم خشکسال در استان گیلان شناسایی گردید. خوشه اول که بیشتر بصورت لکه هایی در مناطق مرکزی و تا حدودی شمالی، خوشه دوم گسترده ترین خوشه هم خشکسال در استان گیلان می باشد که در قسمتهای غربی، مرکزی و شمالی استان، خوشه سوم در قسمت جنوب و جنوب غرب استان و خوشه چهارم بصورت یک محدوده مجزا در گوشه شرقی استان قرار گرفته است. با توجه به نتایج تحلیل ها به لحاظ فراوانی وقوع خشکسالی به ترتیب می توان خوشه های دوم، اول، چهارم و سوم را در اولویت خطر وقوع خشکسالی قرار دارند.

منابع

- ۱- بداق جمالی جواد و جوانمرد سهیلا و شیرمحمدی رضا، ۱۳۸۱، پایش و پهنه بندی وضعیت خشکسالی استان خراسان با استفاده از نمایه استاندارد شده بارش، فصلنامه تحقیقات جغرافیایی، شماره ۶۷، صص ۲۴-۴.
- ۲- پورهت جهانگیر، ۱۳۷۹، بررسی خشکسالی و ترسالیهای حوضه کارون، اولین کنفرانس ملی بررسی راهکارهای مقابله با کم آبی، کرمان، اسفند ۱۳۷۹.
- ۳- تاجداری، خسرو، ۱۳۹۰، گزارش وضعیت خشکسالی یا ترسالی استان گیلان در سال آبی ۸۹-۱۳۸۸، وزارت نیرو، شرکت سهامی آب منطقه ای گیلان.
- ۴- جهانبخش، سعید، تدین، معصومه و یزدانی، محمد، ۱۳۸۷، تجزیه و تحلیل زمانی و مکانی خشکسالی و تعیین دوره های خشک و مرطوب حوضه دریاچه نمک، فصلنامه جغرافیای طبیعی، شماره ۱، صص ۵۴-۳۷.
- ۵- حسنی ها حمید، ۱۳۷۹، بررسی وضعیت خشکسالی های استان زنجان، اولین کنفرانس ملی بررسی راهکارهای مقابله با کم آبی، کرمان، اسفند ۱۳۷۹.
- ۶- خسروی، محمود و اکبری محمد، ۱۳۸۸، تحلیل خشکسالیهای استان خراسان جنوبی از دیدگاه اقلیم شناسی، جغرافیا و توسعه، شماره ۷، ۶۸-۵۱.
- ۷- رضیئی طیب، دانش کار آراسته پیمان، اختری روح انگیز و ثقفیان بهرام، ۱۳۸۶، بررسی خشکسالیهای هواشناسی (اقلیمی) در استان سیستان و بلوچستان با استفاده از نمایه SPI و مدل زنجیره مارکف، تحقیقات منابع آب، سال سوم، شماره ۱، صص ۸۱.
- ۸- زاهدی قره آقاج، مجید و قویدل رحیمی، یوسف، ۱۳۸۶، تعیین آستانه خشکسالی و محاسبه میزان بارش قابل اعتماد ایستگاههای حوضه آبریز دریاچه ارومیه، مجله پژوهش های جغرافیایی، شماره ۵۹، ۳۴-۲۱.
- ۹- سلطانی سعید و سعادت سیده سارا، ۱۳۸۶، پهنه بندی خشکسالی در استان اصفهان با استفاده از نمایه استاندارد شده بارش (SPI)، مجله علوم و مهندسی آبخیزداری ایران، سال اول، شماره ۲.
- ۱۰- علیجانی، ب، ۱۳۸۱، اقلیم شناسی سینوپتیک، چاپ اول، انتشارات سمت، تهران.
- ۱۱- علیجانی، بهلول و بنی واهب، علیرضا، ۱۳۸۴، بررسی خشکسالی و ترسالی و پیش بینی تغییرات اقلیم منطقه بیرجند با استفاده از مدل های آماری، مجله پژوهش های جغرافیایی، شماره ۵۲، صص ۴۵-۳۳.
- ۱۲- علیجانی بهلول، ۱۳۷۹، آب و هوی ایران، انتشارات پیام نور، چاپ چهارم.
- ۱۳- غیور، ح ع و منتظری، م، ۱۳۸۳، پهنه بندی رژیم های دمایی ایران با مؤلفه های مینا و تحلیل خوشه ای، مجله جغرافیا و توسعه، شماره ۴، زاهدان.
- ۱۴- فرج زاده، منوچهر، ۱۳۸۴، خشکسالی از مفهومی تا راهکار، انتشارات سازمان جغرافیایی نیروهای مسلح.
- ۱۵- فشارکی، پریدوخت (۱۳۸۴) فرهنگ جغرافیا، انتشارات امیر کبیر.

۱۶- مسعودیان، س.ا، ۱۳۸۲، نواحی اقلیمی ایران، مجله جغرافیا و توسعه، شماره ۲، صص ۱۸۴ - ۱۷۱.
۱۷- مسعودیان ابوالفضل، ۱۳۸۳، بررسی روند دمای ایران در نیم سده اخیر، مجله جغرافیا و توسعه، بهار و تابستان

۸۷

۱۸- مسعودیان، س.ا، ۱۳۸۵، اقلیم شناسی همدید، انتشارات دانشگاه اصفهان.
۱۹- مقدسی، مهنوش، مرید سعید، ریایون، قائمی، هوشنگ و محمد ولی سلمان، جمال، ۱۳۸۳، پایش خشکسالی با استفاده از شاخص DI-SPI-EDI در استان تهران، تحقیقات کشاورزی.

- 20- Bhattacharyya Gouri K., Richard A. Johnson (1977), Statistical concepts and methods, John Wiley and Sons.
- 21- Bazuhair, A. S. and Alghohani, A. (1997): "Determination of Monthly Wet and Dry Periods in Saudi Arabia", International Journal of Climatology, Vol.17, Pp. 303-311.
- 22- Dupigny-Giroux, L., 2001, Towards Characterizing and Planning for Drought in Vermont - Part I: A Climatologically Perspective, J. of the Am. Water Res. Assoc., 37, 505-525.
- 23- Estrela, M.J., Pennarrocha, D. and Milan, M. (2000): "Multi-Annual Drought Episodes in The Mediterranean (Valencia Region) From (1950-1996)", International Journal of Climatology, Vol.20, Pp. 1599-1618.
- 24- Hayes, M.J., M.D. Svoboda, D.A. Wilhite and Vanyarkho. O.V. (1999), "Monitoring the 1996 drought using the Standardized precipitation Index", Bulletin of the American Meteorological Society, 80(3): pp. 429- 437.
- 25- Hong, W U., Hayesi, J.M., Weiss, A. and Qihu. (2001): "An Evaluation of The Standardized Precipitation Index, The China-Z Index and The Statistical Z-Score", International Journal of Climatology, Vol.21, Pp. 745-758.
- 26- Pashiardis, S. Michaelides, S. (2008): "Implementation of The Standardized Precipitation Index (SPI) and The Reconnaissance Drought Index (RDI) for Regional Drought Assessment: A Case Study for Cyprus", European Water, Vol.23/24, Pp. 57-65.
- 27- Lloyd-Hughes, B. and Saunders. M.A. (2002), "A drought climatology for Europe", International Journal of Climatology 22: pp. 1571-1592.
- 28- Vinnikov Konstantin Y. (2002) Trends in moments of climatic indices, GEOPHYSICAL RESEARCH LETTERS, VOL. 29, NO. 2:141-144.